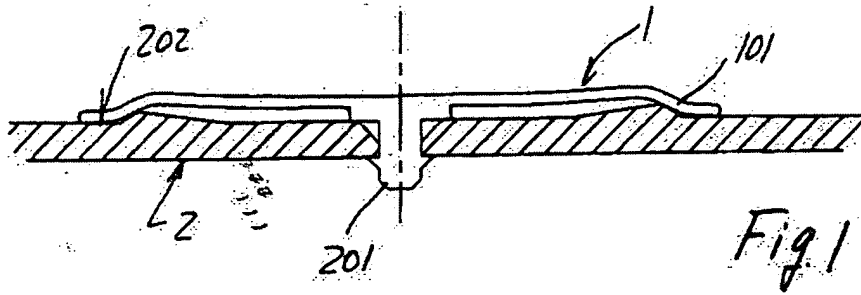
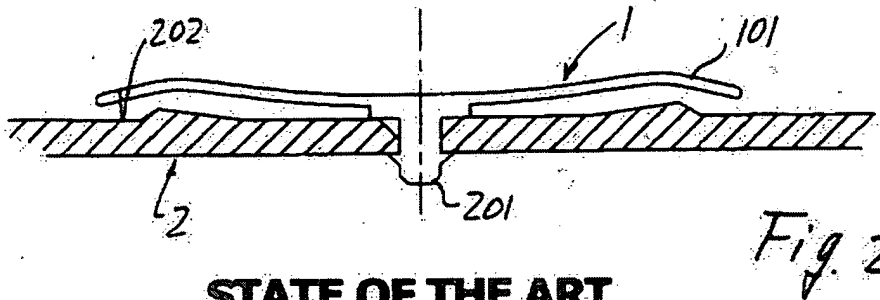


1/6



STATE OF THE ART



STATE OF THE ART

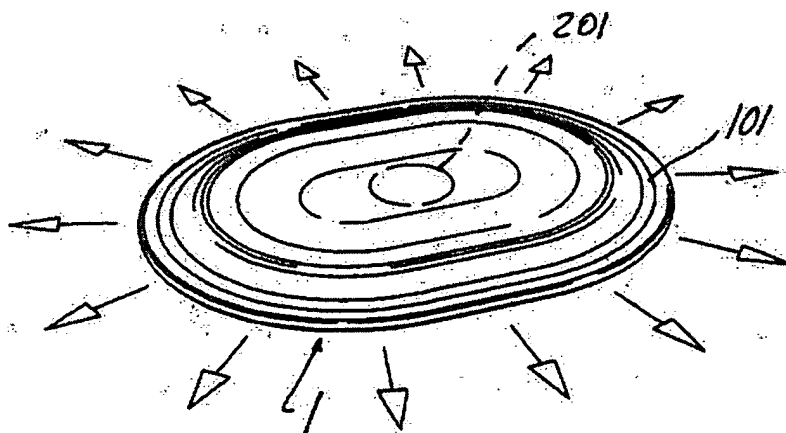


Fig. 3

2/6

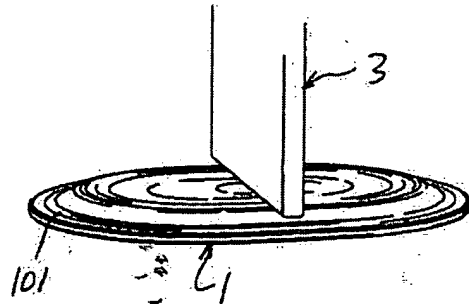


Fig. 4

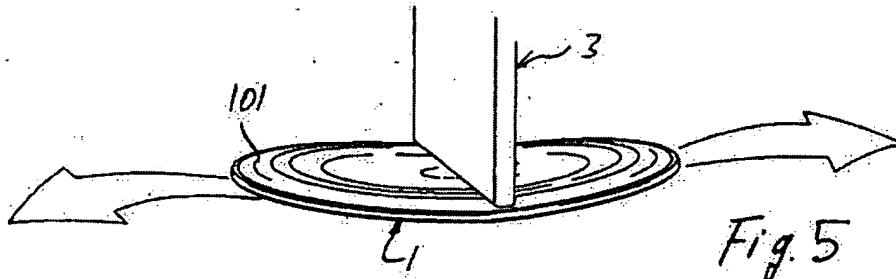


Fig. 5

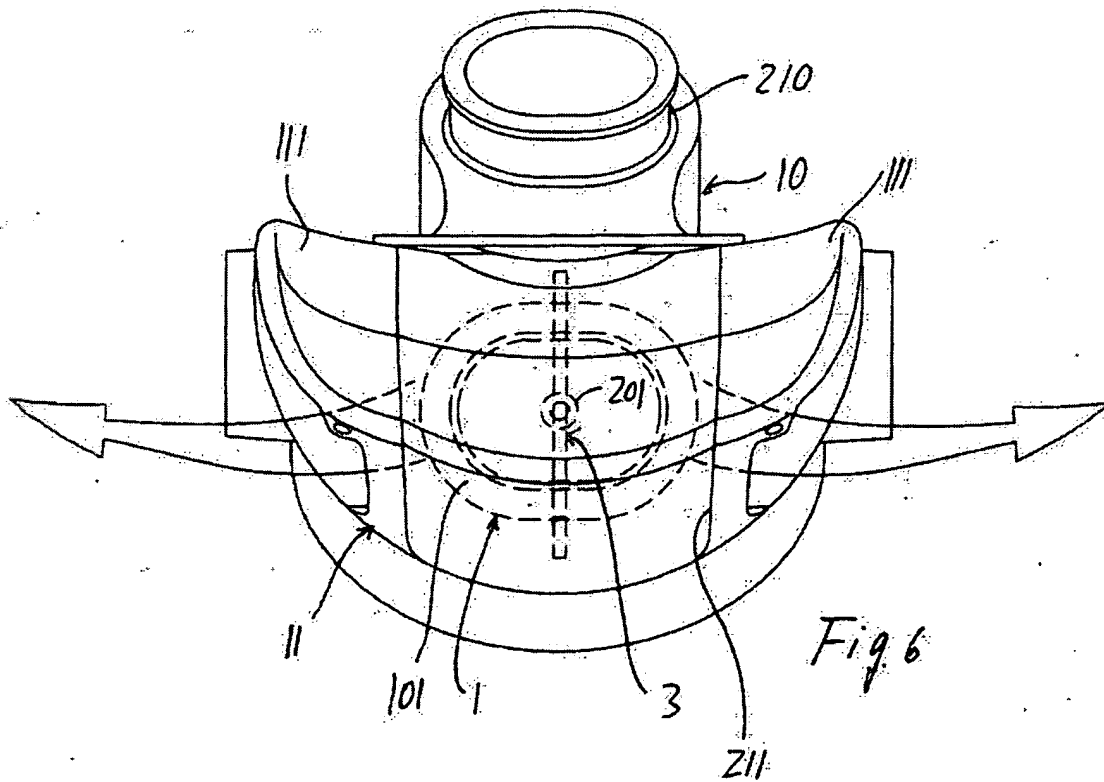
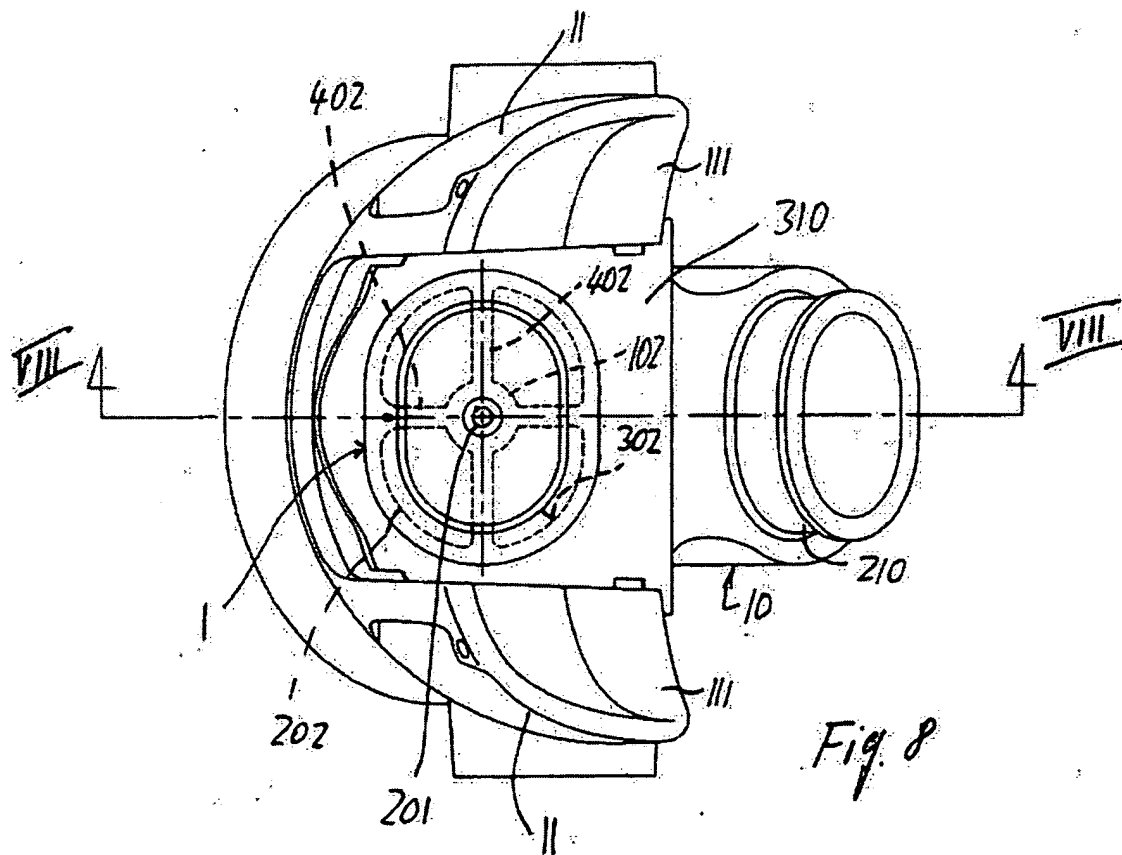
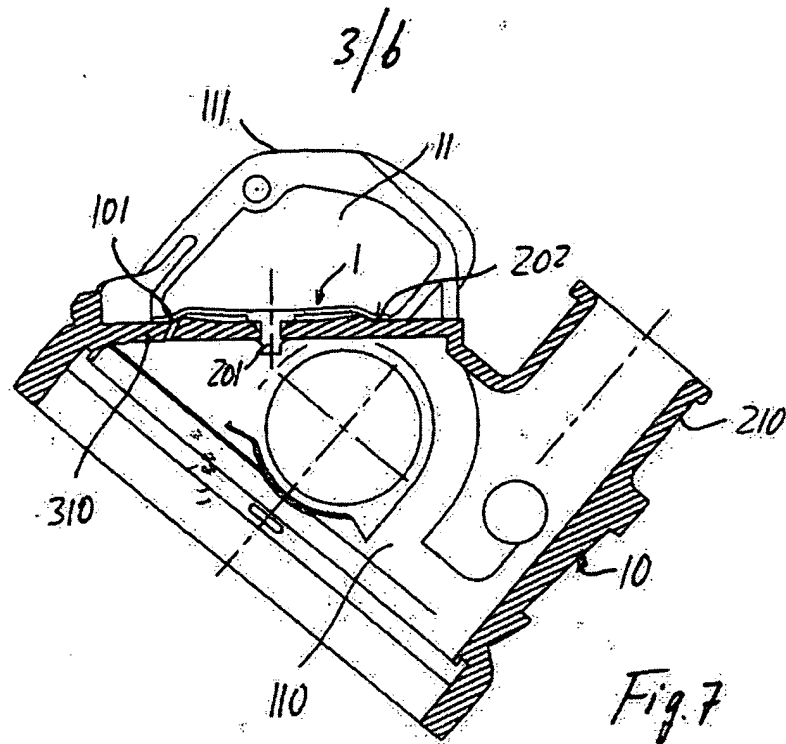


Fig. 6



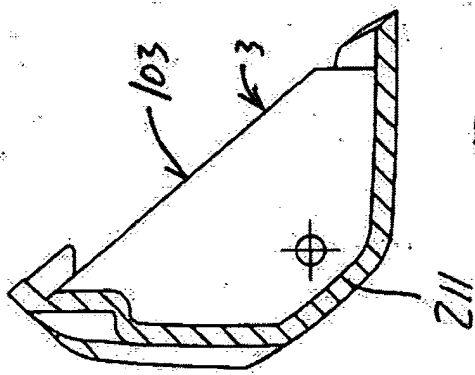


Fig. 9

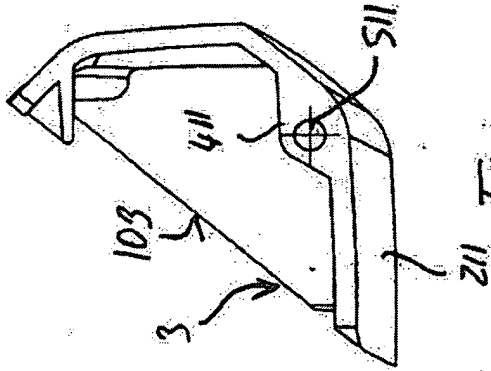


Fig. 10

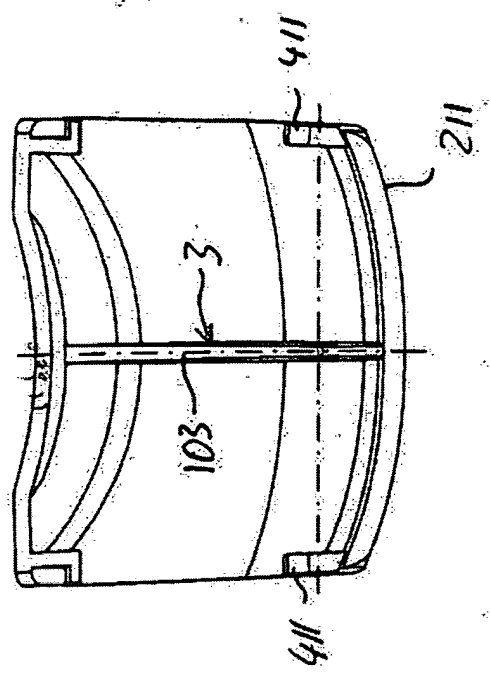


Fig. 11

4/6

5/6

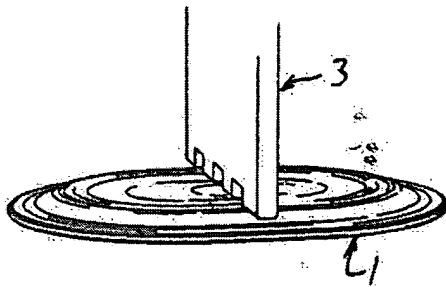


Fig. 12A

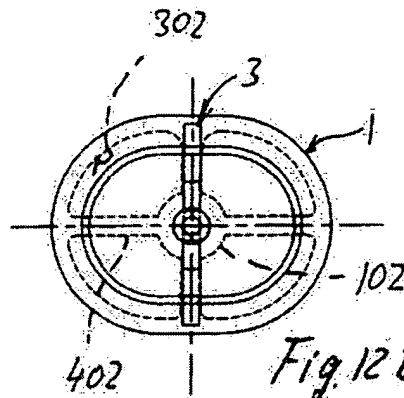


Fig. 12B

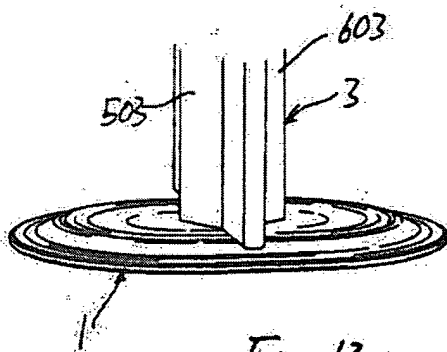


Fig. 13A

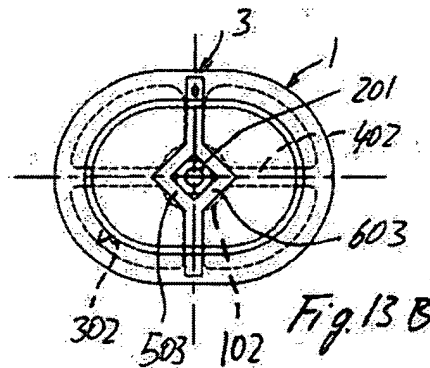


Fig. 13B

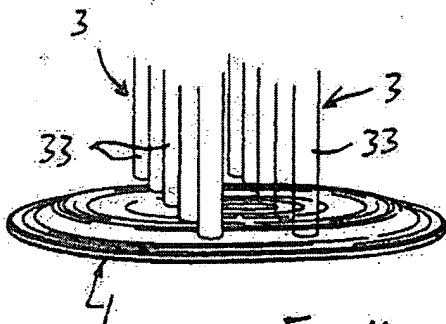


Fig. 14A

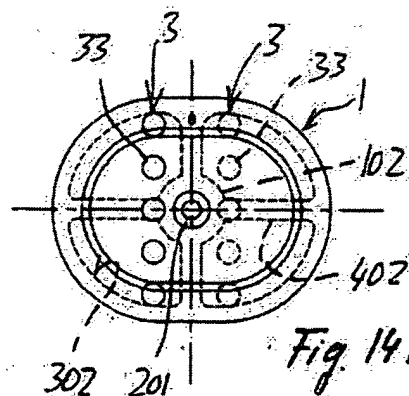


Fig. 14B

6/6

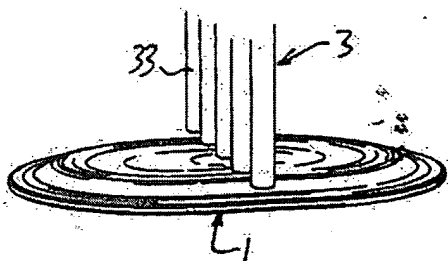


Fig. 15A

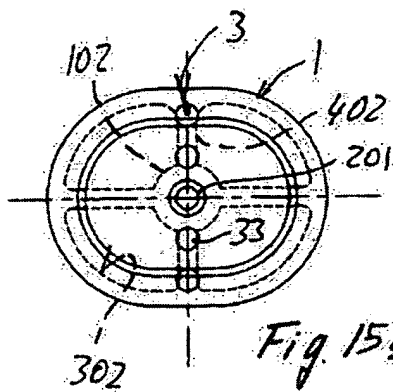


Fig. 15B

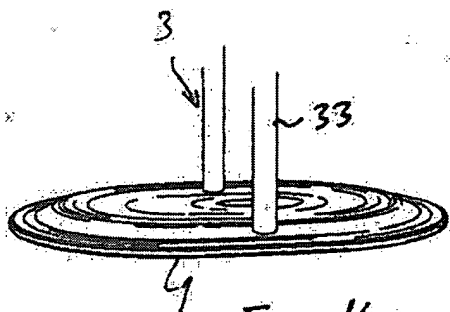


Fig. 16A

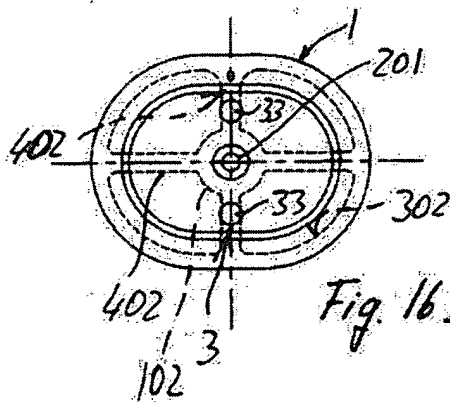


Fig. 16B

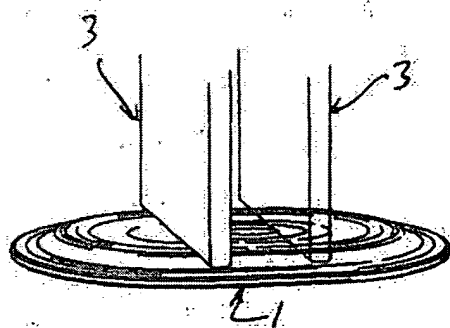


Fig. 17A

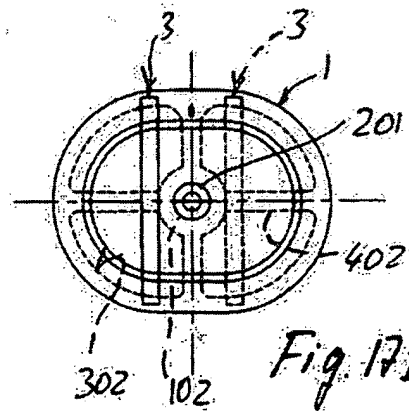


Fig. 17B